

УДК 539.3

К.В.Мельник

Луцький національний технічний університет

ДОСЛІДЖЕННЯ КОНТАКТНИХ ЗАДАЧ ДЛЯ ШАРУ МЕТОДАМИ КВАДРАТИЧНОГО ПРОГРАМУВАННЯ

В роботі розглядається контактна задача для шару, що лежить на опорах. Проводиться дослідження процесу відставання під штампом з гладкою основою. Розв'язок задачі будується на основі методу інтегральних рівнянь-нерівностей і квадратичного програмування. Проведено порівняння з контактною задачею для півпростору.

Ключові слова: штамп, шар, квадратичне програмування.

Методи розв'язання контактних задач з наперед заданою областю контакту достатньо представлені в роботах [1-4]. У випадку негерцевського контакту багато задач не допускають аналітичного рішення в замкнутій формі, наприклад, коли необхідно враховувати сили тертя, часткове проковзування або враховувати умови відставання штампа від основи. Це привело до розвитку різноманітних чисельних методів. Основна проблема полягає в знаходженні нормальних та дотичних напружень, які виникають в області контакту. Форма і розмір області контакту наперед невідома.

Застосування варіаційних методів до контактних задач дозволяють визначити форму і розмір області контакту, а також застосувати добре розроблені методи оптимізації, а саме методи квадратичного програмування.

Варіаційна постановка задачі одностороннього контакту без тертя вперше представлена в роботах Сінборні А. Отримані ним результати були узагальнені в роботах Стампак'я, Дюво Ж., Фікера [5], Кравчука А.С. та інших. Питаннями існування та єдиності розв'язку контактної задачі для двох тіл, які мають неперервні гладкі поверхні і контактують з повним зміщенням δ , займалися Фішер, Дувайт і Ліонс. Вони показали, що істинні область контакту і поверхневі зміщення ϵ ті, які мінімізують повну енергію напруження.

Розглянемо задачу про контакт без тертя одного жорсткого штампу з пружним шаром, товщиною $2h$, що лежить на опорах. Площадка контакту опор мала, що дозволяє замінити їх дією зосереджених сил. Поза штампом поверхня шару не навантажена. Нехай форма основи штампа в області контакту Ω визначається функцією $f(x, y)$. Штамп втискається в шар силою P . Необхідно знайти розподілення нормальних контактних напружень під штампом. Граничні умови задачі мають вигляд:

$$\begin{aligned} \tau_{xy}(x, y, \pm h) = \tau_{xz}(x, y, \pm h) = 0, \\ \omega(x, y, h) = -(\delta + \alpha x + \beta y - f(x, y)) \quad (x, y) \in \Omega \\ \sigma_z(x, y, \pm h) = \begin{cases} -q(x, y), & (x, y) \in \Omega, \\ 0, & (x, y) \notin \Omega \end{cases} \end{aligned} \quad (1)$$

Тут δ, β, α визначаються з умови рівноваги штампа

$$P = \int_{\Omega} q(\xi, \eta) d\Omega, \quad M_x = \int_{\Omega} \eta q(\xi, \eta) d\Omega, \quad M_y = \int_{\Omega} \xi q(\xi, \eta) d\Omega.$$

Нормальні переміщення границі шару $z = h$ визначаються так:

$$\begin{aligned} \omega = \omega_s + \omega_{op}, \\ \omega_s(x, y, z) = \lambda \iint_{\Omega} q(\xi, \eta) F(x - \xi, y - \eta, h, h) d\xi d\eta, \\ \omega_{op} = \sum_{i=1}^N Z_i \omega_i(x - x_i, y - y_i, h, -h), \end{aligned} \quad (2)$$

де $F(x-\xi, y-\eta, h, h)$ – переміщення границі $z = h$, що виникають в точці (x, y, h) від сили, прикладеної в точці (ξ, η, h) , $\lambda = \frac{1-\nu}{2\pi G}$, ν – коефіцієнт Пуассона, G – модуль зсуву, Ω – область контакту (невідомо); $\omega_i(x-x_i, y-y_i, h, -h)$ – переміщення, що виникають в точці (x, y, h) при дії опори в точці $(x_i, y_i, -h)$ силою Z_i , $i=1, N$, N – кількість опор. Величини сил Z_i вибираються так, щоб виконувалися умови рівноваги:

$$Z_i = \frac{1}{N} \iint_{\Omega} q(\xi, \eta) d\xi d\eta \quad (3)$$

В даній роботі вважаємо, що задана сила P , а переміщення штампа δ і коефіцієнти β, α необхідно знайти. Перепишемо рівняння (2) у вигляді:

$$\lambda \iint_{\Omega} q(\xi, \eta) \left(F(x-\xi, y-\eta, h, h) + \frac{1}{N} \sum_{i=1}^N \omega_i(x-x_i, y-y_i, h, -h) \right) d\xi d\eta = \omega \quad (4)$$

Інтегральне рівняння (4) запишемо у вигляді альтернативних інтегральних рівнянь-нерівностей і зведемо задачу до задачі квадратичного програмування. Застосуємо чисельний алгоритм, розроблений в роботі [6-8]. Приходимо до такої постановки задачі:

$$Y = \sum_{v=N_1}^{N_2} \sum_{\mu=M_1}^{M_2} C_{v,\mu} \left(\sum_{n=N_1}^{N_2} \sum_{m=M_1}^{M_2} (B_{v,\mu,n,m} q_{n,m} - F_{v,\mu}) q_{v,\mu} \right) \quad (5)$$

$$\sum_{n=N_1}^{N_2} \sum_{m=M_1}^{M_2} B_{v,\mu,n,m} q_{n,m} \leq F_{v,\mu},$$

$$\sum_{n=N_1}^{N_2} \sum_{m=M_1}^{M_2} q_{n,m} = \lambda P / h_x h_y,$$

$$\sum_{n=N_1}^{N_2} \sum_{m=M_1}^{M_2} y_m q_{n,m} = M_x, \quad (6)$$

$$\sum_{n=N_1}^{N_2} \sum_{m=M_1}^{M_2} x_n q_{n,m} = M_y,$$

$$q_{n,m} \leq 0,$$

$q_{n,m} = \lambda q_{n,m}$, h_x, h_y – крок розбиття сітки.

На рис.1 а) суцільною лінією наведено графік величин $\lambda q(x, 0)$, обчислених за формулами (5-6), коли штамп має форму еліптичного параболоїда:

$$f(x, y) = \frac{x^2}{2R_1} + \frac{y^2}{2R_2}, \quad (R_2 \geq R_1) \quad (7)$$

і товщина шару $h = 0.5$. Координати точок опори $(-0.04, 0, -0.5)$, $(0.04, 0, -0.5)$, $(0, 0.04, -0.5)$, $(0, -0.04, -0.5)$. Розрахунки проведено при $P = 10^7$, $R_1 = R_2 = 1$, $G_1 \cdot 10^{-10} = 7$, $\nu_1 = 0,1$, крок розбиття сітки $h_x = h_y = 0,005$. Зірочками представлений результат розрахунків контактної задачі для півпростору, область контакту наведена на рис. 1б) лінією 1. Як видно з рисунка, при малій області контакту і малій відстані між опорами розв'язки задач подібні. На рис. 1а) штриховою лінією наведені контактні напруження $\lambda q(x, 0)$ у випадку, коли опори знаходяться в точках $(-25, 0, -0.5)$, $(25, 0, -0.5)$, $(0, 25, -0.5)$, $(0, -25, -0.5)$, область контакту представлена лінією 2 на рис. 1б). Як видно з рисунків, при збільшенні відстані між опорами контактні напруження зменшуються, а область контакту збільшується.

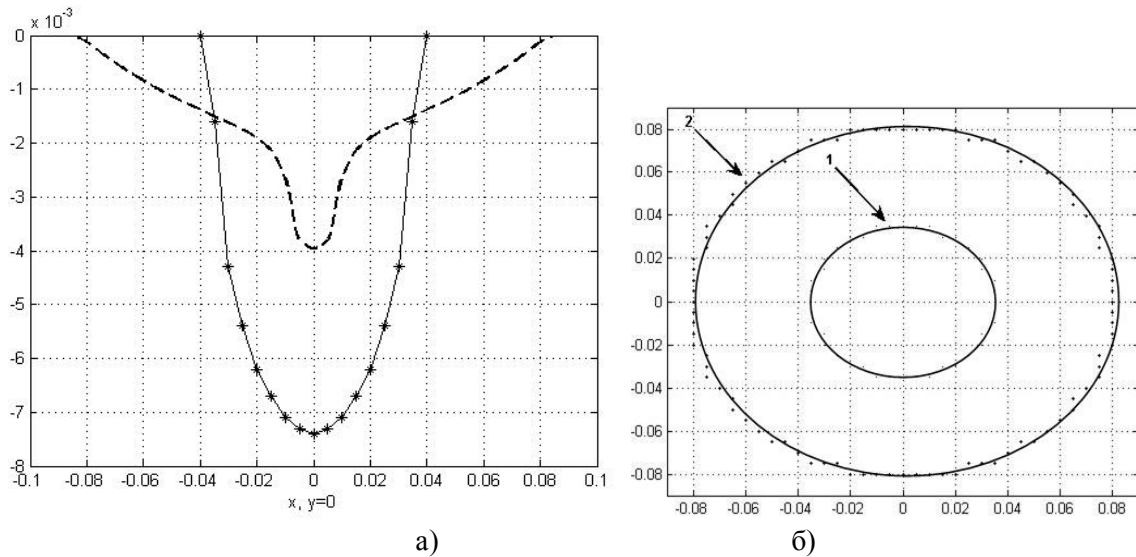


Рис. 1. Порівняння з контактною задачею для півпростору

На рис.2, 3 графічно зображено розподіл контактних напружень $\lambda q(x', 0)$ і область контакту при товщині шару $h=1$, що лежить на чотирьох опорах, координати яких $(\pm x', 0, -1); (0, \pm y', -1)$, $x' = 10/h, y' = 10/h$. Штамп має форму:

$$f(x, y) = \left(\frac{r}{R_0} \right)^m, \quad (8)$$

$m = 2k$, $k = 3, 4$. Крок розбиття сітки $h_x = h_y = 0,5$. Розрахунки проведені при різних параметрах R_0 і силах, що діють на штамп $P = -\lambda p / h_x h_y$. На рис. 2б) -3б) наведена область контакту, коли в центрі починається процес відставання штампа від основи.

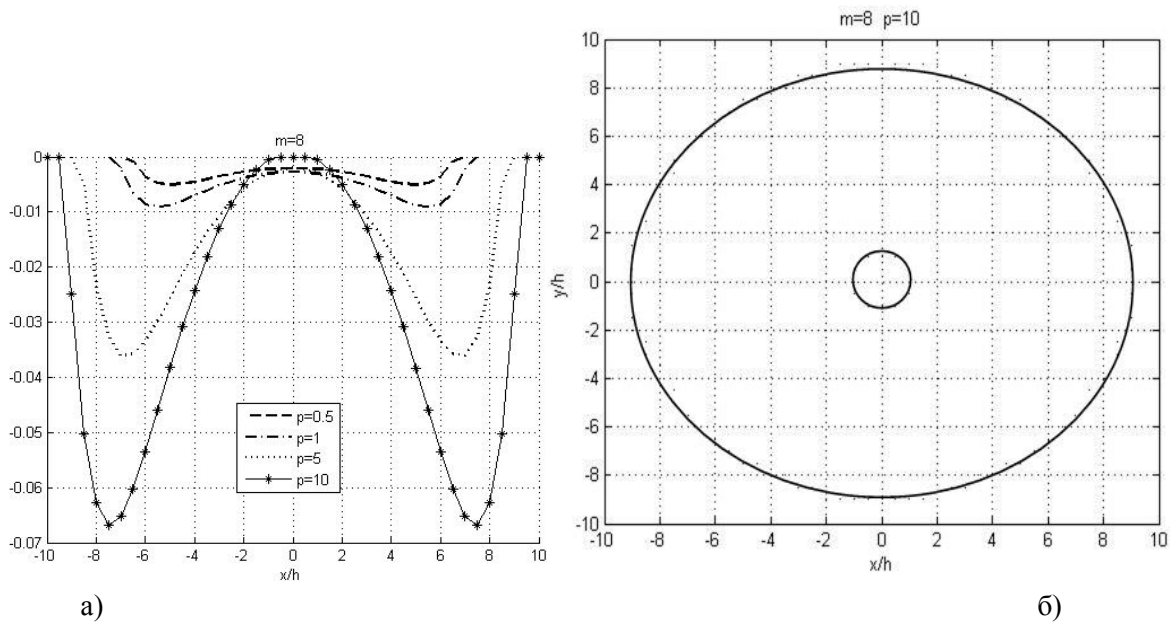


Рис. 2. Розподіл контактних напружень і область контакту $R_0 = 5, m = 8$

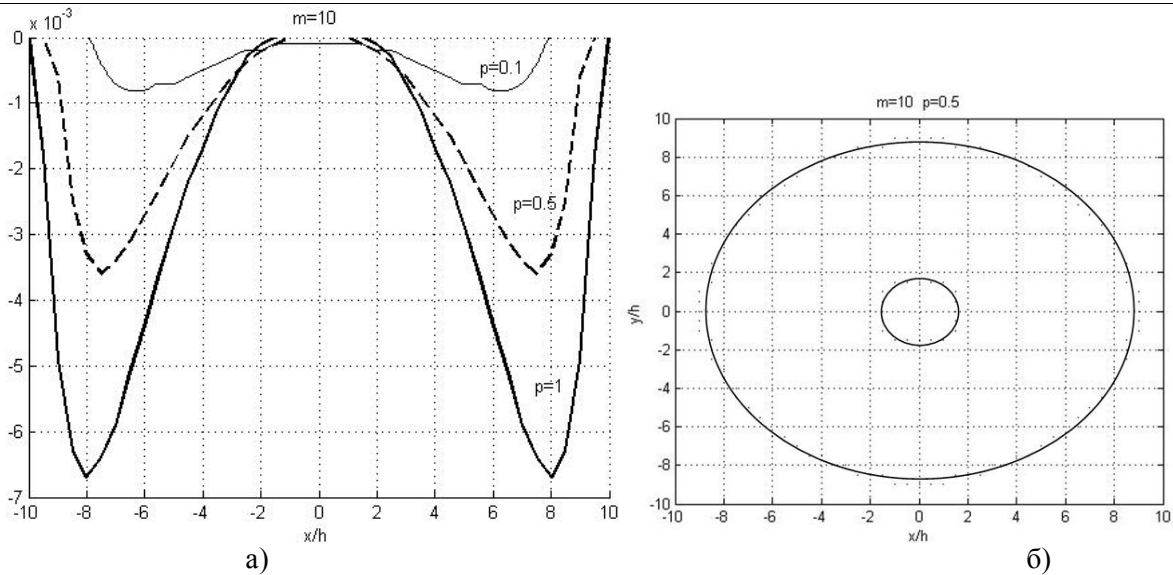


Рис. 3. Розподіл контактних напружень і область контакту $R_0 = 7.5, m = 10$

На рис.4а), 5а) графічно зображено розподіл контактних напружень $\lambda q(x', 0)$ для штампа, що має форму

$$f(x, y) = \begin{cases} R - \sqrt{R^2 - r^2} \text{ при } r \leq R, \\ \sqrt{3}(r - R) + R \text{ при } r > R \end{cases}, \quad (9)$$

$R = \frac{R_0^2}{2}, R_0 = 5; 7.5$. Шар лежить на чотирьох опорах, координати яких $(\pm x', 0, -1); (0, \pm y', -1), x' = 40/h, y' = 40/h$. Крок розбиття сітки $h_x = h_y = 1$. У випадку $R_0 = 5$ при $p = 0,0065$ починається процес відставання штампа від основи (рис.6,а), а для $R_0 = 7,5$ - при $p = 0,0037$ (рис.6,б).

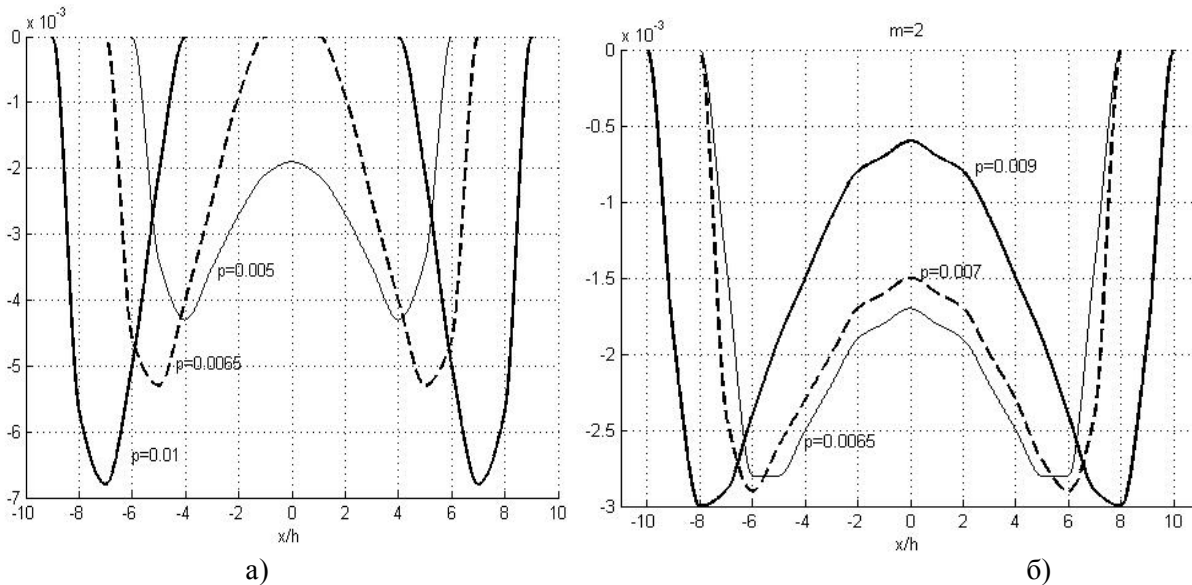


Рис. 4. Розподіл контактних напружень при $R_0 = 5$

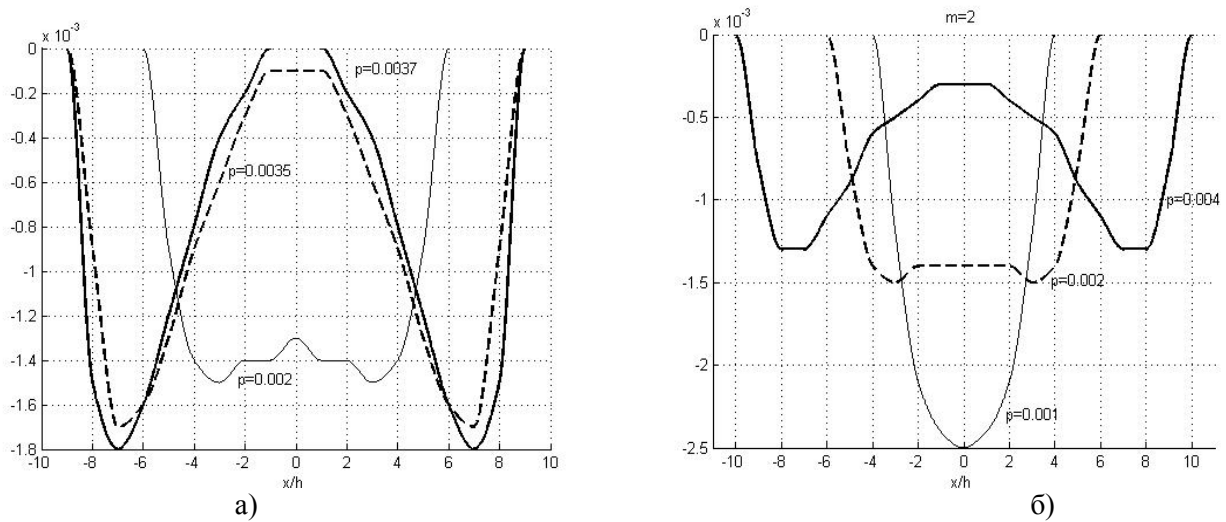


Рис. 5. Розподіл контактних напружень при $R_0 = 7,5$

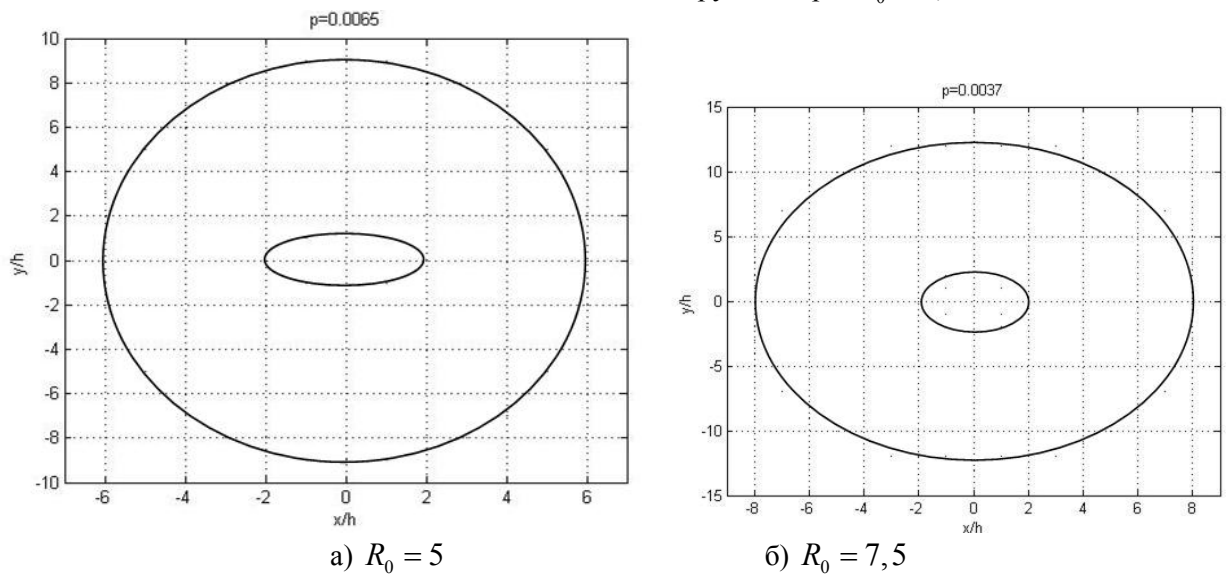


Рис. 6. Відставання штампа від основи. Область контакту

В літературі часто сферичну та інші форми штампа замінюють еквівалентною параболічною формою (8), що спрощує розрахунки з використанням аналітичних методів. Під еквівалентним параболічним штампом будемо розуміти штамп, кривина якого у вершині збігається із кривиною реального штампа. Заміна форми є допустимою при малих силах, що притискає штамп. При більших силах на рис. 4б) і 5б) наведено розподіл контактних напружень для штампа, що має форму параболи (8) при $m = 2$ і, як видно з рисунка, процес відставання штампа від основи в центрі контакту не починається. Отже, заміна форми штампа при великих силах для цього класу контактних задач істотно впливає на розподіл контактних напружень.

1. Галин Л.А. Контактные задачи теории упругости и вязкоупругости. – М.: Наука, 1980. – 304с.
2. Лурье А.И. Пространственные задачи теории упругости. - М.: Гостехиздат, 1955. – 492 с.
3. Развитие теории контактных задач в СССР. – М.: Наука, 1976. – 493 с.
4. Штаерман И.Я. Контактная задача теории упругости. – М. –Л.: Гостехиздат, 1949. – 272 с.
5. Фикер Г. Теоремы существования в теории упругости. – М., 1974.
6. Johnson K. L. Contact mechanics. Cambridge University Press. 1985.
7. Signorini. Questioni di elasticita non linearizzata e semilinearizzata // Rend. Di Matem/ e delle sue appl., 1959. V. 18, № 1-2.P. 95-139.
8. Маркова К. В. Дослідження контактних напружень під штампами складної форми з врахуванням відлипання // Матеріали конференції «Сучасні проблеми механіки та математики», у 3-х томах. – Львів, 2008. - С. 2.61-2.63.